



**HAL**  
open science

## Synthèse optique d'ondes hyperfréquences et millimétriques à très bas bruit de phase : résultats préliminaires

Gwennaël Danion, François Bondu, Goulc'Hen Loas, Ludovic Frein, Cyril Hamel, Anthony Carré, Steve Bouhier, Marc Vallet, Marc Brunel, Antoine Rolland, et al.

### ► To cite this version:

Gwennaël Danion, François Bondu, Goulc'Hen Loas, Ludovic Frein, Cyril Hamel, et al.. Synthèse optique d'ondes hyperfréquences et millimétriques à très bas bruit de phase : résultats préliminaires. Optique Bretagne 2015, Jul 2015, RENNES, France. , 2015. hal-01491862v2

**HAL Id: hal-01491862**

**<https://univ-rennes.hal.science/hal-01491862v2>**

Submitted on 21 Mar 2017

**HAL** is a multi-disciplinary open access archive for the deposit and dissemination of scientific research documents, whether they are published or not. The documents may come from teaching and research institutions in France or abroad, or from public or private research centers.

L'archive ouverte pluridisciplinaire **HAL**, est destinée au dépôt et à la diffusion de documents scientifiques de niveau recherche, publiés ou non, émanant des établissements d'enseignement et de recherche français ou étrangers, des laboratoires publics ou privés.



# SYNTHÈSE OPTIQUE D'ONDES HYPERFRÉQUENCES ET MILLIMÉTRIQUES À TRÈS BAS BRUIT DE PHASE : RÉSULTATS PRÉLIMINAIRES

G. Danion<sup>1</sup>, F. Bondu<sup>1</sup>, G. Loas<sup>1</sup>, L. Frein<sup>1</sup>, C. Hamel<sup>1</sup>, A. Carré<sup>1</sup>, S. Bouhier<sup>1</sup>, M. Vallet<sup>1</sup>, M. Brunel<sup>1</sup>, A. Rolland<sup>1</sup>, M. Alouini<sup>1</sup>,  
Brillet<sup>2</sup>, J.-P. Coulon<sup>2</sup>, F. Cleva<sup>2</sup>, M. Merzougi<sup>2</sup>,  
A. Beck<sup>3</sup>, G. Ducournau<sup>3</sup>, J.-F. Lampin<sup>3</sup>, M. Zakoune<sup>3</sup>, C. Coinon<sup>3</sup>, X. Wallart<sup>3</sup>, E. Peytavit<sup>3</sup>, A. Tahsin<sup>3</sup>,  
G. Pillet<sup>4</sup>, L. Morvan<sup>4</sup>, G. Baili<sup>4</sup> et J. Bourderionnet<sup>4</sup>

[1]. Institut de Physique de Rennes, UMR 6251 Université de Rennes 1 – CNRS

[2]. ARTEMIS, Observatoire de la côte d'Azur, UMR 7250 Université de Nice Sophia Antipolis – CNRS

[3]. Institut d'Electronique de Microélectronique et de Nanotechnologie, UMR 8520 Université de Lille 1 – CNRS

[4]. Thales Research and Technology, Palaiseau

## Introduction

- Génération optique d'ondes millimétrique et submillimétrique par photomélange
- Accordabilité en fréquence du DC au térahertz par pas d'1,5 GHz
- Densité spectrale de bruit phase à 10 kHz de la porteuse d'une onde à 9 GHz limité par l'appareil de mesure
- bancs transportables (banc laser, banc de stabilisation, électronique)

Cavité ULE, stabilisation des fréquences laser et des puissances, laser biaxe bi-fréquences, photodiode UTC

Applications potentielles :

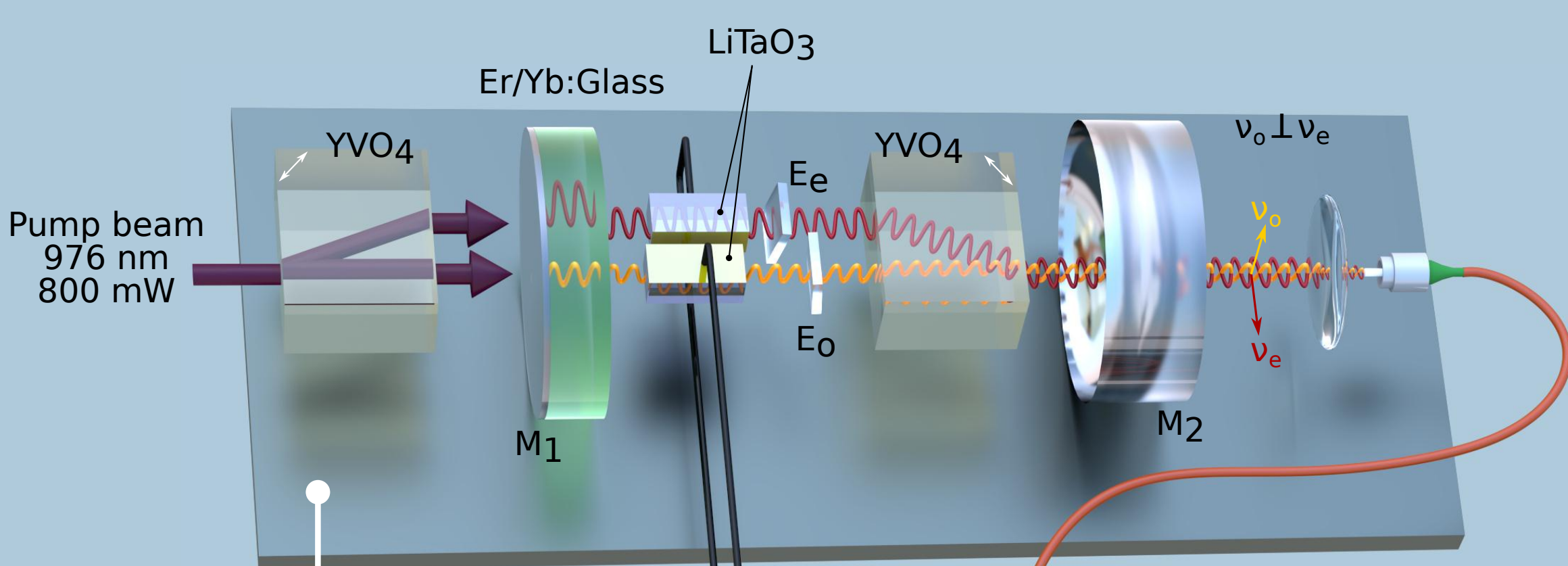
- spectroscopie haute résolution
- système radar
- télécommunication
- radio astronomie millimétrique

## Principe

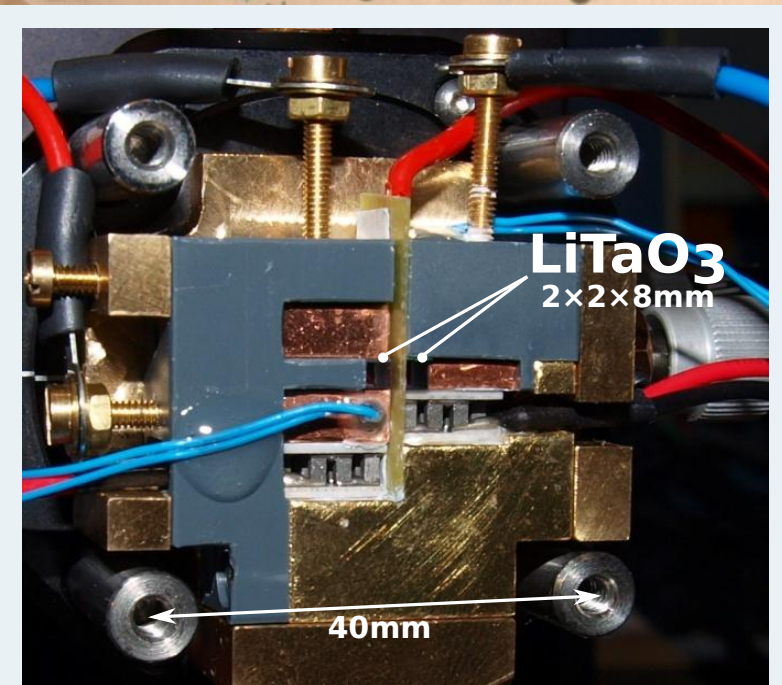
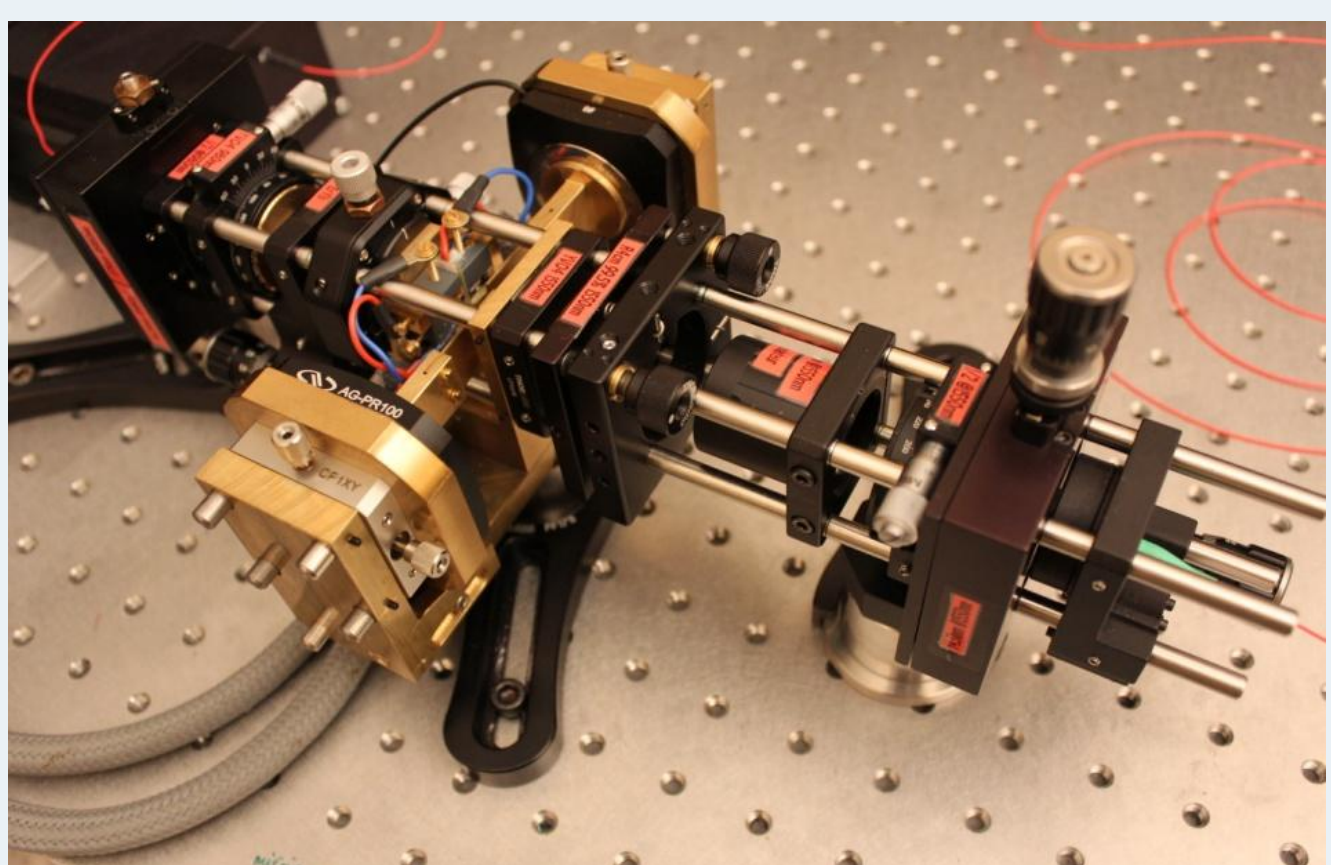
Transférer la stabilité dimensionnelle de la cavité sur la stabilité du battement

$$\delta\nu_1 = \frac{\delta L_{\text{cavité}}}{L_{\text{cavité}}} \rightarrow \delta(\nu_1 - \nu_2) = (\nu_1 - \nu_2) \frac{\delta L_{\text{cavité}}}{L_{\text{cavité}}}$$

$$\delta\nu_2 = \frac{\delta L_{\text{cavité}}}{L_{\text{cavité}}}$$



## Laser biaxe bi-fréquence



$P_{\text{out}} = 6 \text{ mW}$  par axe  
 $\lambda = 1550 \text{ nm}$

5 MHz par min de dérive sans asservissement  
Largeur de raie de 800 Hz

→ Accordabilité par pas d'1,7 GHz (ISL)

→ Continue avec deux cristaux de LiTaO<sub>3</sub> par effet électro-optique (1,1 MHz/V) et thermo-optique (600 MHz/°C)

→ Accordabilité continue et indépendante entre les 2 axes sur 1 THz

## Système amplificateur

→ 70 mW par axe de polarisation

→ Actionneur pour une stabilisation de puissance

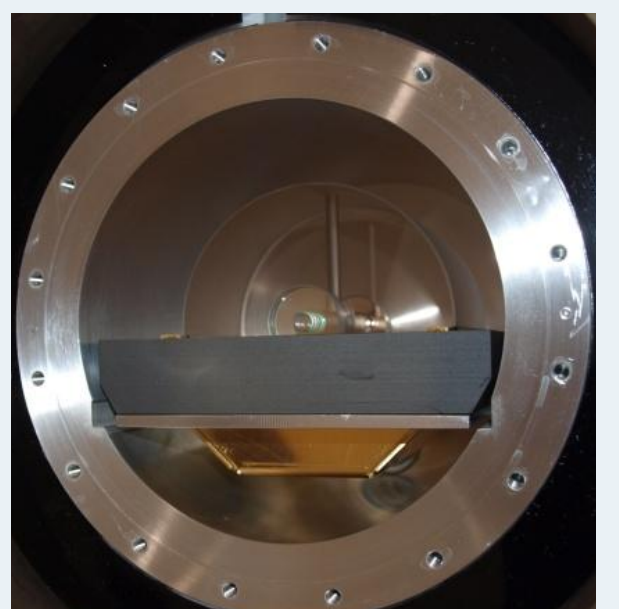
→ Réduction passive du RIN (20 dB sur les oscillations de relaxation)

## Cavité ULE

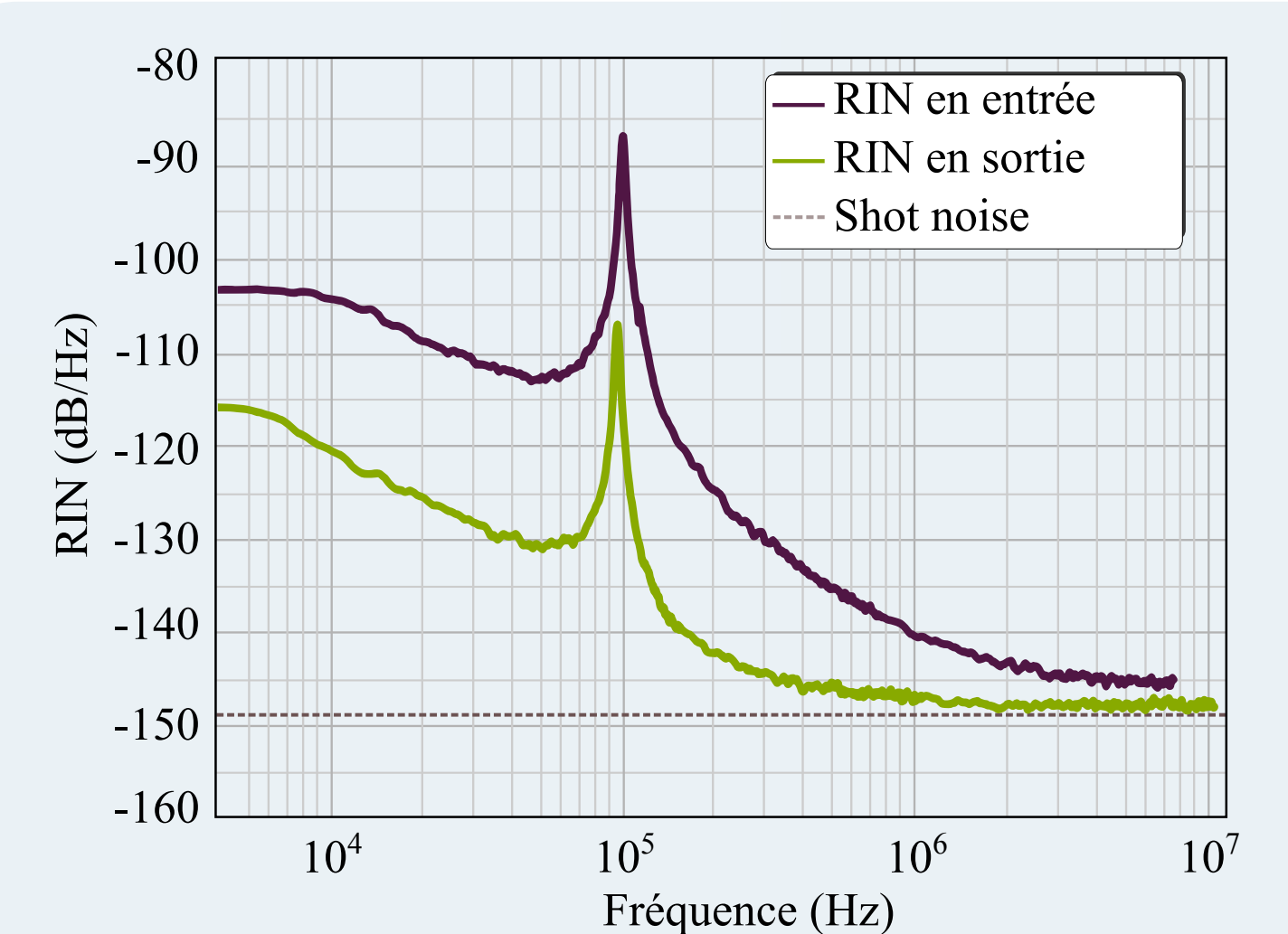
→ Faible expansion : coefficient d'expansion quelques ppb à température ambiante

→ sous vide : isolations thermique et acoustique (10<sup>-8</sup> mbar)

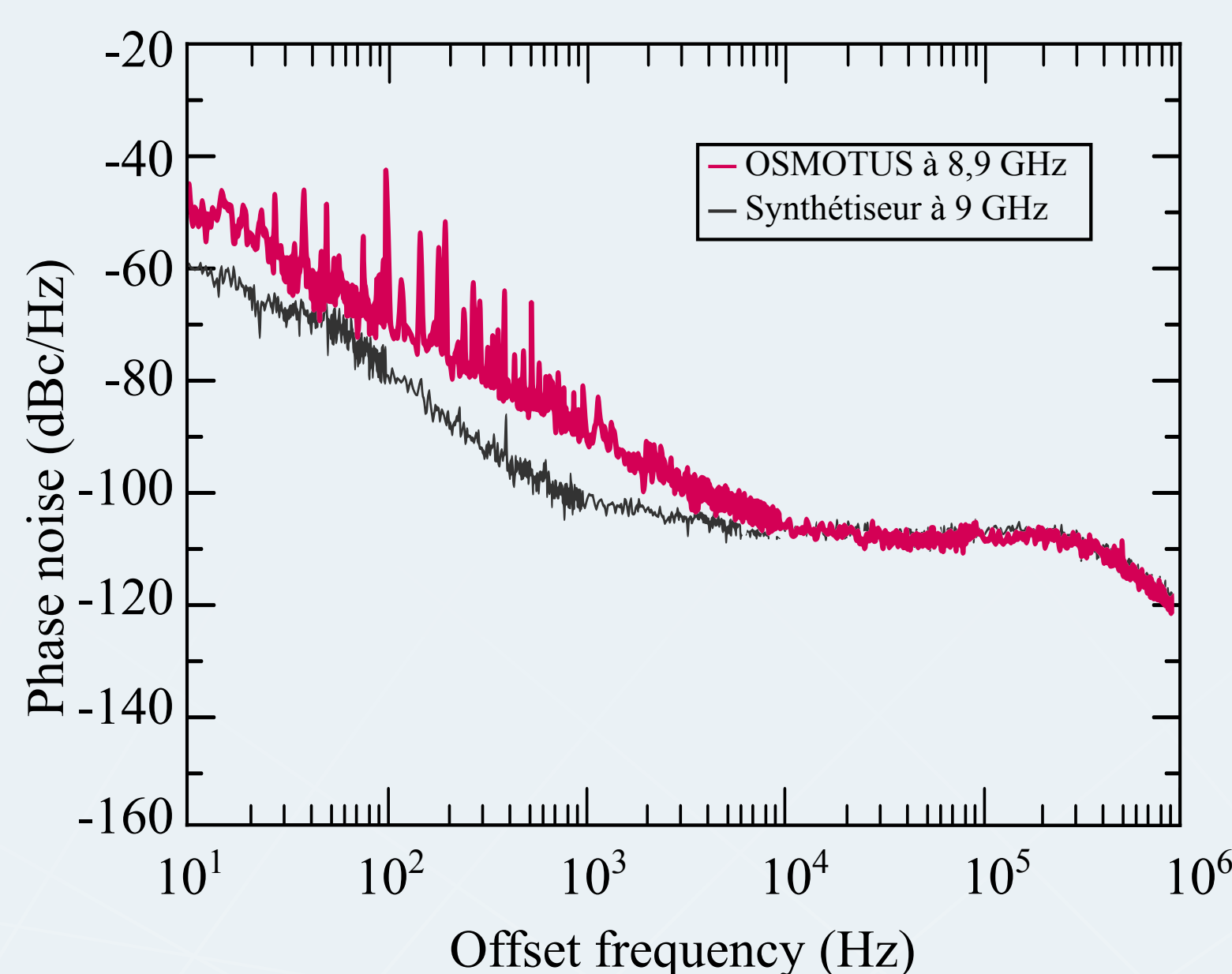
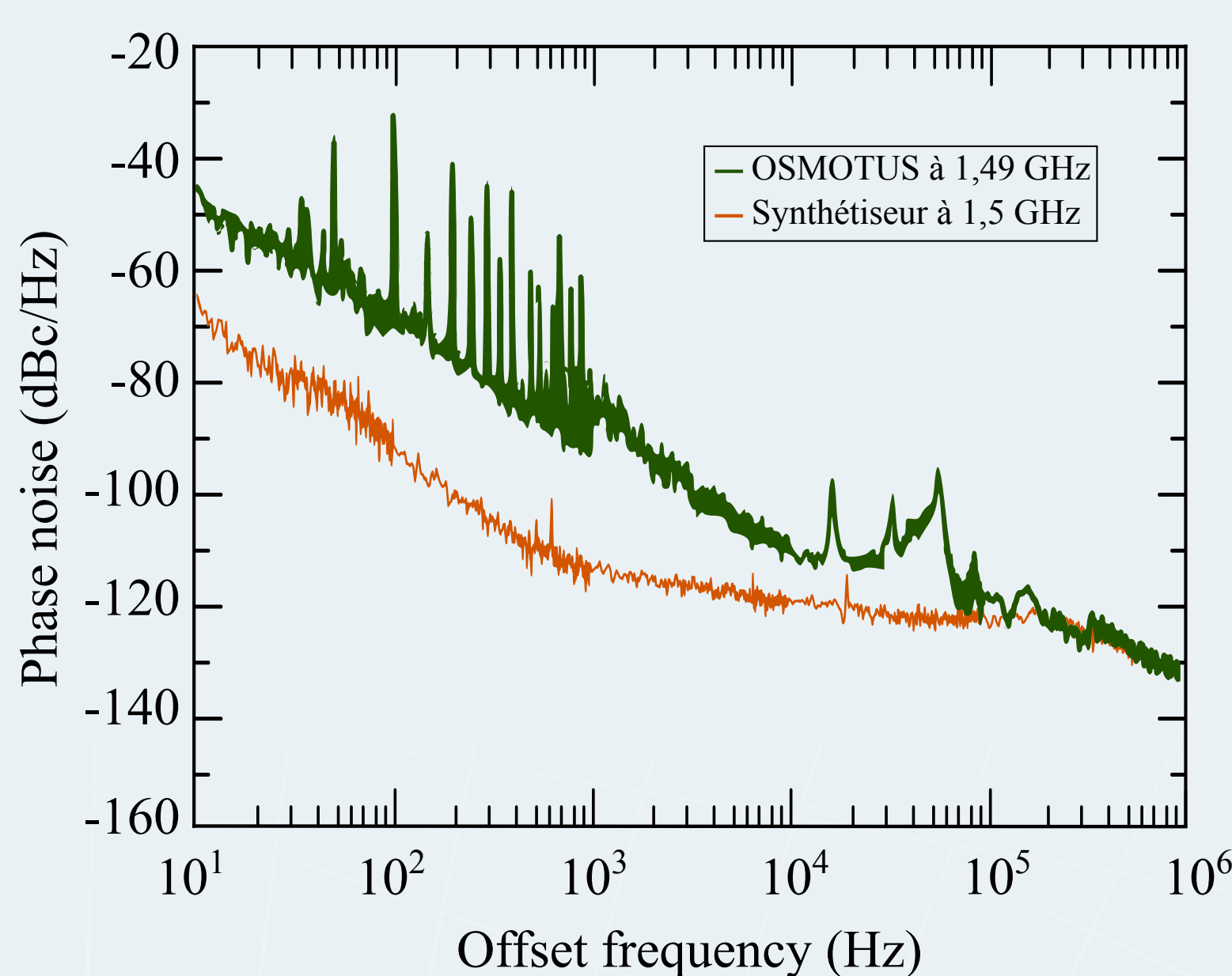
→ Bruits sismique et d'accélération réduits à des niveaux négligeables



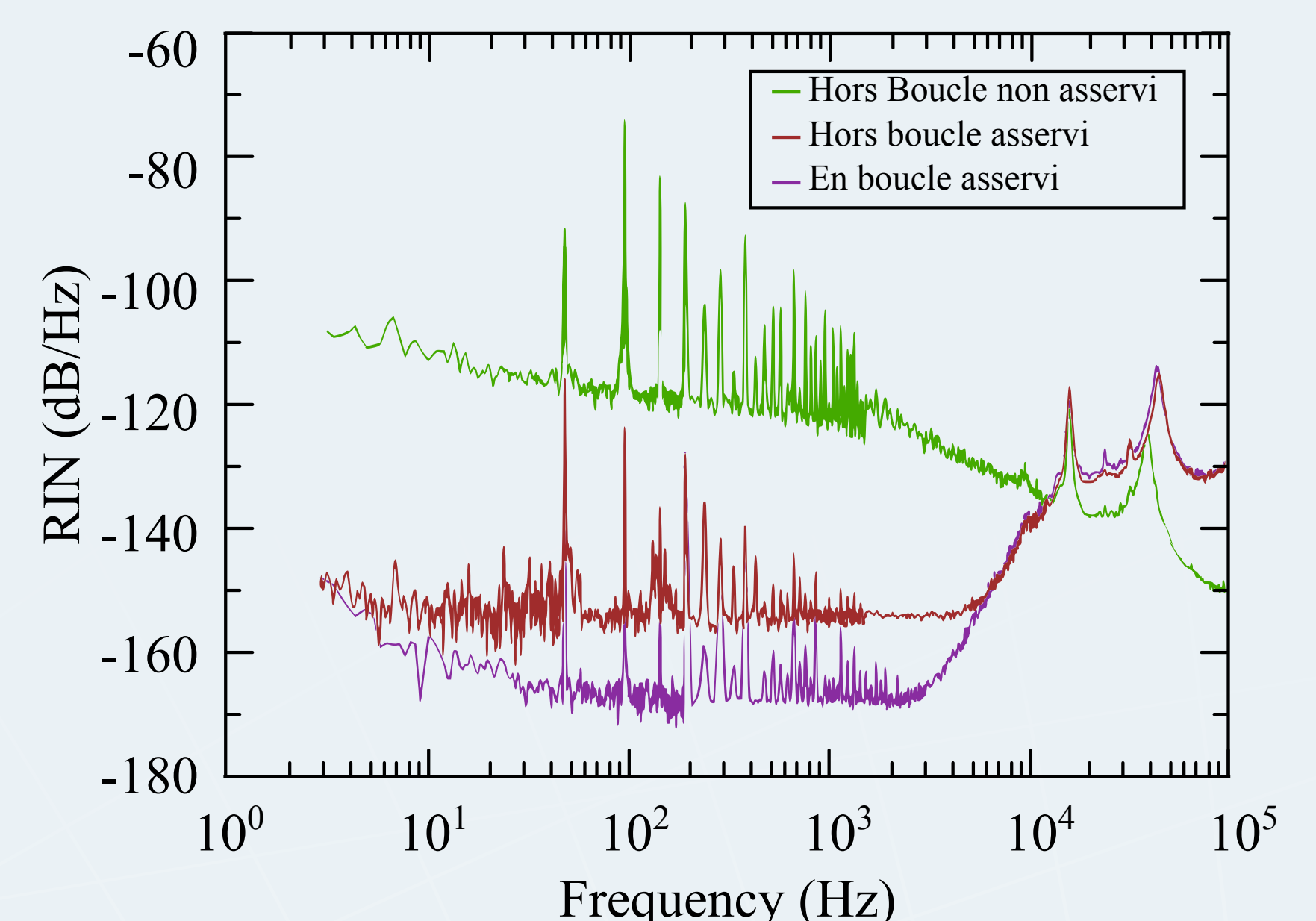
L = 10 cm  
ISL = 1,5 GHz  
F = 100 000



## Performances en bruit de phase



## Performances en RIN



## Conclusion

- Bruit de phase de -110 dBc/Hz à 10 kHz d'une porteuse à 9 GHz, meilleur qu'un synthétiseur électronique commercial
- RIN de -150 dB/Hz sur 2 kHz
- Pas de dégradation du bruit de phase lorsque la fréquence de la porteuse augmente →
- Bruit limité par une modulation résiduelle. Des modifications sont en cours.
- Deux dispositifs sont développés qui permettront de réduire le seuil de bruit de mesure
- Bruit de phase attendu -150 dBc/Hz à 10 kHz pour une porteuse allant de 1 GHz à 1 THz.

## Références

- G. Danion et al, Optic Express, vol 22, n°15, p.17673-17678, 2014
- G. Danion et al, Optics Express, vol.39, n°14, p.4249-4242, 2014